



„Beispiele für ingenieurtechnische Hochtechnologie am CERN“



Friedrich Haug
CERN, Technology Dep
2014/2/06

Programmteil

14:30 „Beispiele für ingenieurtechnische Hochtechnologie am CERN“
(Friedrich Haug, 20' Vortrag + 10' Diskussion)

15:00 Gang zum Kryolab (Gebäude 165/163)

15:10-16:40 Besichtigung Kryotechnik, Supraleitung und Messtechnik
Doktorandenforschung in High-Tech Laboren

- Technologietransfer und Kryotechnik (Geb. 165, Friedrich Haug)
- Supraleitende Kabel Test Facility (Geb. 163 Amalia Ballarino)
- optional: Messtechnik Labor (Geb. 181, Stephan Russenschuck)



Kurze Vorstellung F. Haug

- Studium an FH Ulm und **Univ. Stuttgart**
- **Promotion Univ. Stuttgart**
- 3 Jahre Stipendiat der Europ. Gem. (Forschungszentrum Italien)
- 2 Jahre Postdoc (Los Alamos, USA)

Ich bin Maschinenbau-Ingenieur.
Meine Professoren waren u.a. Groll, Stephan, Wachter, Hahne, Busse, Dolezal (Quack), Höcker, Emendörfer, Lein, Bullinger...

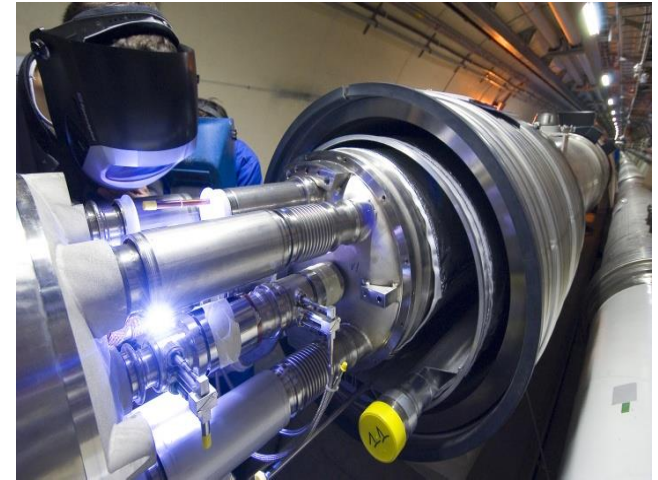
- **Seit 1986 am CERN**
- Mitarbeit Entwicklung supraleitender LHC Magnete. Betrieb kryotechnischer Einrichtungen. Stellvertretender Gruppenleiter. Entwurf und Bau Kryotechnisches System für den ATLAS Detektor.
- **Jetzt: in Forschung und Entwicklung, Technologie Transfer**
- ***Nebenjob: Lehrbeauftragter am KIT + HS Heilbronn***

Technologien am CERN

(ein Auszug)

- Detektortechnologie
- Informationstechnik
- **Vakuumtechnik**
- **Kryotechnik**
- Elektronik
- Elektrotechnik
- Gebäude- und Klimatechnik
- **Magnettechnik**
- **Supraleitung**
- Mechanik
- **Materialkunde**
- Hochfrequenztechnik
- Prozesssteuerung
- **Bauingenieurwesen**
- Sicherheit (Strahlenschutz) etc.

Zur Erreichung der gesetzten Ziele in der Teilchenphysik muss CERN oft existierende Technologien bis an ihre Limits vorantreiben oder auf neue Technologien setzen.



CERN ist das führende Teilchenphysiklabor
CERN ist ein High-Tech Zentrum

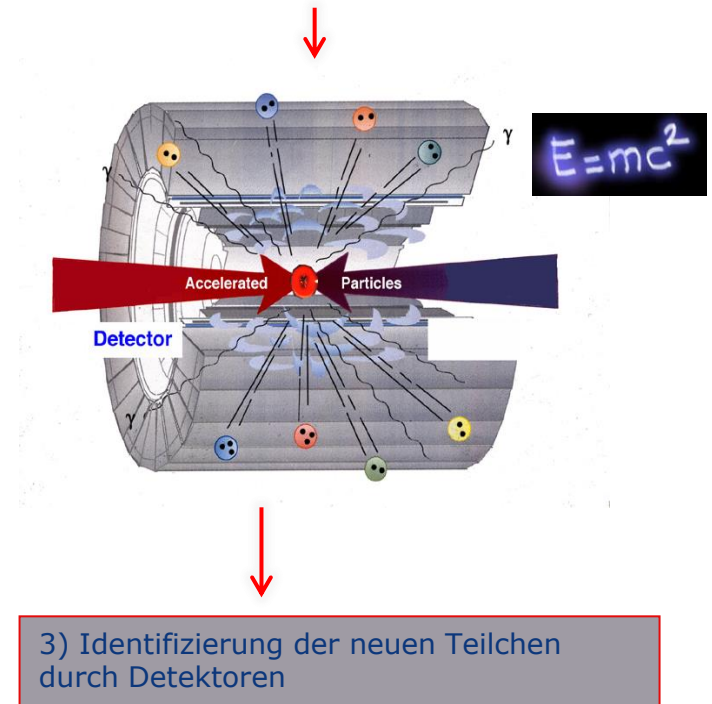
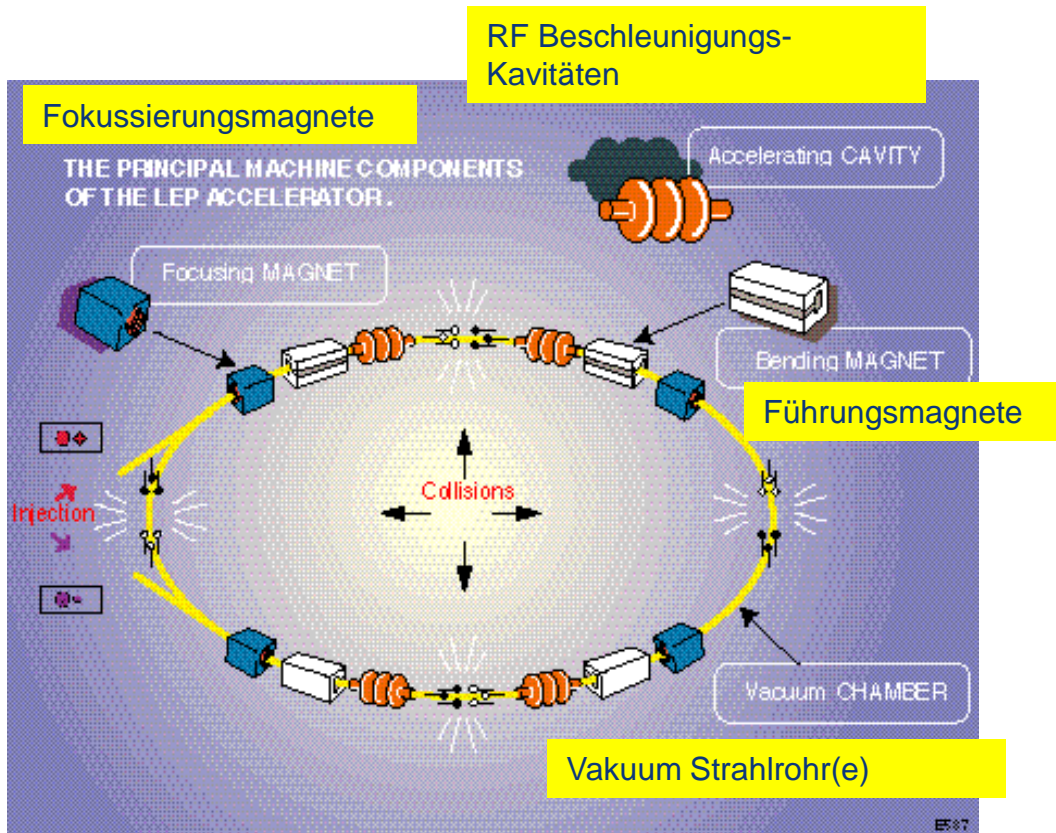
Wir brauchen Physiker, Ingenieure, Techniker als Angestellte als auch als Studenten, Doktoranden, Fellows, Trainees etc.



Beschleuniger und Detektoren

1) Konzentration der Energie in den Teilchen durch Beschleunigung auf quasi Lichtgeschwindigkeit

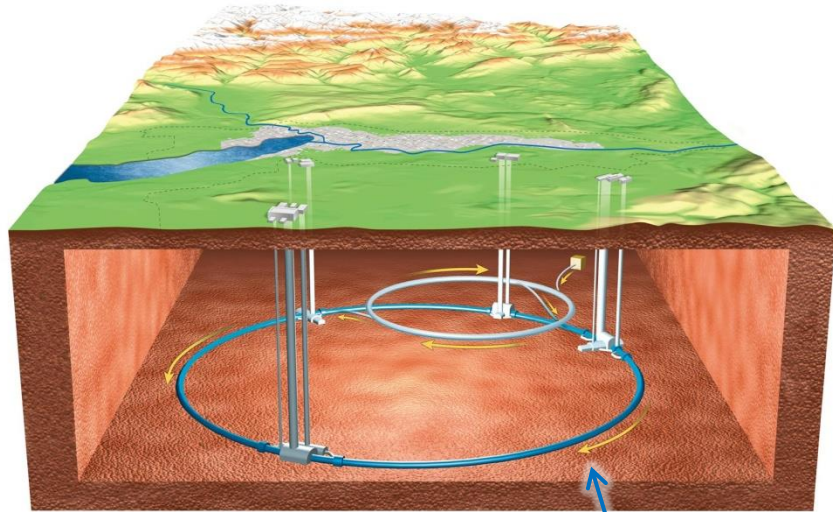
2) Kollision der Teilchen mit Freisetzung der Energie und Umwandlung in Masse (neue Teilchen)



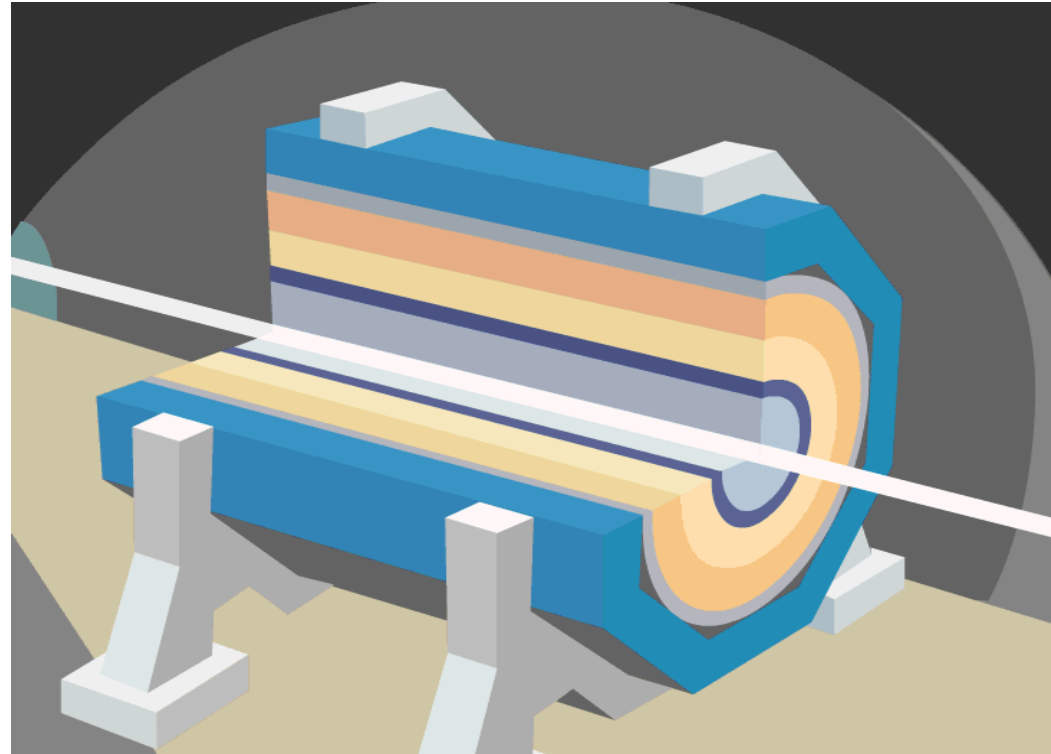
3) Identifizierung der neuen Teilchen durch Detektoren

CERN's LHC Collider

- LHC Beschleuniger im 27 km Umfang Tunnel
- Beschleunigung von Protonen oder Schwerionen, zwei gegenläufige Strahlen
- Kollision der Teilchen in Detektoren



Tunnel 3,8 m Durchmesser



Schlüsseltechnologien am LHC: Supraleitung und Kryotechnik



CMS supraleitender 4 T Magnet mit 6 m Durchm.

Supraleitende Spulen nötig

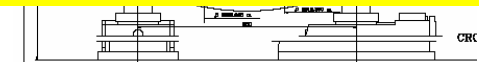
- 1.) um die erforderlichen sehr grossen Magnetfeldstärken für den LHC Beschleuniger zu erreichen. (Die Endenergie der beschleunigten Teilchen ist direkt proportional zum Dipolmagnetfeld)
- 2.) zur effektiven Fokussierung der Teilchenstrahlen (Erhöhung der Ereignisrate)
- 3.) zur Erzeugung grossvolumiger Magnetfeldern in Teilchendetektoren

Supraleitende Beschleunigungskavitäten zur Erzeugung hoher Beschleunigungsspannungen

Kryotechnik im Grossmasstab zur Kühlung der Spulen notwendig zwischen 4.2 K und 1.9 K. Weiterhin kalte Detektoren (ATLAS) mit flüssig Argon (90 K)

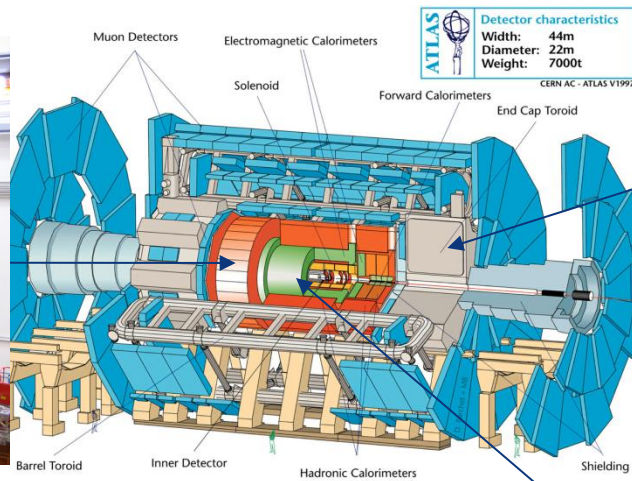
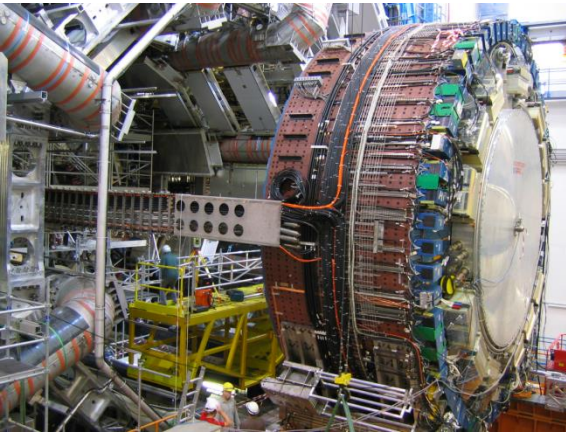


Magnetfeld



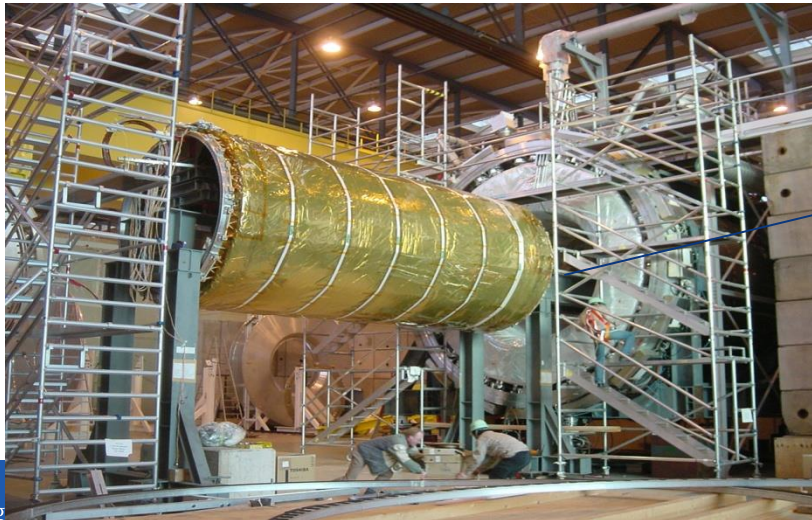
LHC supraleitende Magnete auf 24 km Länge auf 1.9 K gekühlt mit suprafluidem Helium

ATLAS SC Magnete und Kryotechnik



End Cap calorimeter during integration

Central Solenoid during integration in the common cryostat of the Liquid Argon Barrel detector at hall 180



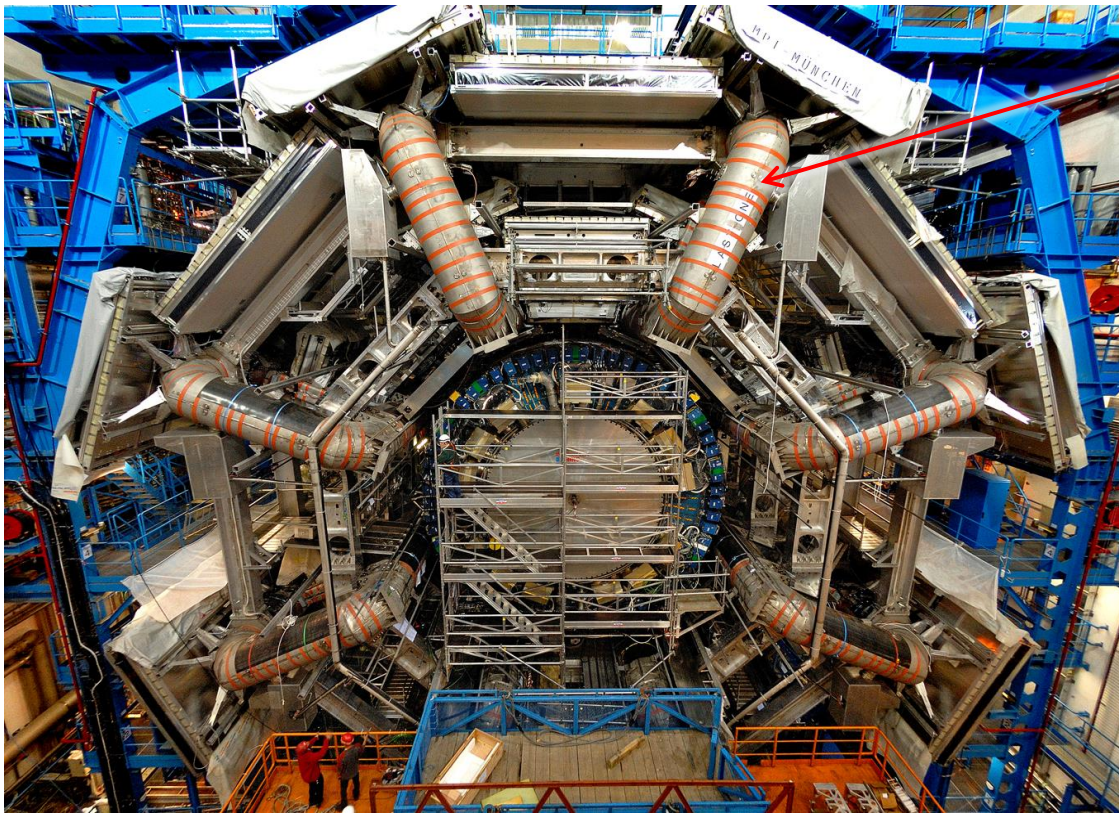
Liquid argon barrel calorimeter cryostat during lowering in the pit

ATLAS SC Magnete und Kryotechnik

Barrel Toroid; The 8 coils (4.2 K) assembled form a barrel with length 25 m and diameter 20 m.

4 Tesla field on conductor, 1 Tesla at Muon chambers

3 Liquid argon calorimeter (90 m³ liquid Argon at 90 K)



Superconducting Magnets

- Barrel Toroid (8 coils)
- 2 End Cap Toroids
- 1 Solenoid

600 tons cold mass
1.6 GJ stored energy

Helium Cryogenic Systems

Liquid Argon Calorimetry

- 1 Barrel Cryostat
- 2 End Cap Cryostats

600 tons cold mass
82 m³ liquid Argon

Nitrogen & Argon Cryogenic Systems



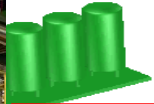
ATLAS Kryotechnik

Surface Area

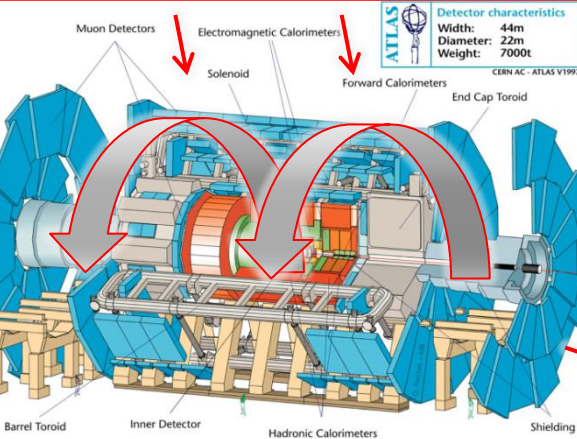
für die Muonenkammern
Toroidales Magnetfeld mit > 1 Tesla in Zylindervolumen mit 20 m Durchmesser und über 25 m Länge

Vent line (Nitrogen and Argon)

2 x 50 m³ Liquid Nitrogen Dewars at surface



2 Helium refrigerators



Proximity cryogenics

Impeller of the 1200 g/s = 10 l/s centrifugal liquid helium pump

Detector Cavern (-93m)
11,000 l of LHe
15,000 l of LN2
90,000 l of LAr



the Cavern with
s and local

enches in
floor for spilled LAR

LHC Beschleunigermagnete

Zur Führung der Teilchen auf quasi Kreisbahn und zu ihrer Fokussierung:

- auf 24 km Länge sind mehr als 1800 supraleitende Hochfeldmagnete installiert zur Erzeugung des z.Z. höchsten technisch erreichbaren Magnetfelds in Serienmagneten von 7-8 Tesla...
- ...sie sind auf 1.9 K gekühlt...
- ... mit einer Million Liter flüssigem Helium
- ...erzeugt wird die Kälte...



LHC supraleitender Magnet String im unterirdischen Tunnel mit 27 km Umfang

18 kW @ 4.2 K Refrigerator/Verflüssiger

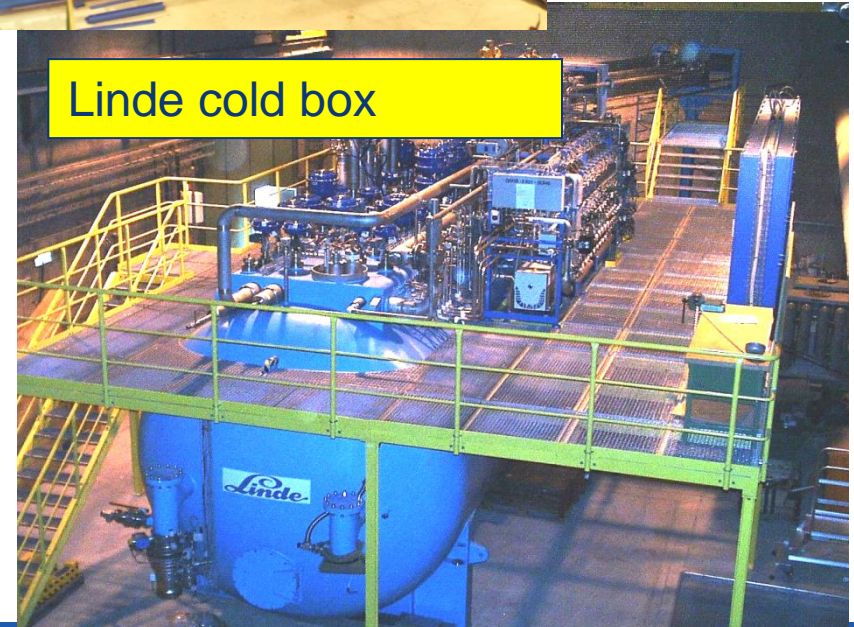
Specific capacity
33 kW @ 50 K to 75 K
23 kW @ 4.6 K to 20 K
41 g/s liquefaction (current leads)
Complex “mixed mode”: both
refrigeration + liquefaction



Warm
compressor
station (4 MW
el. input)

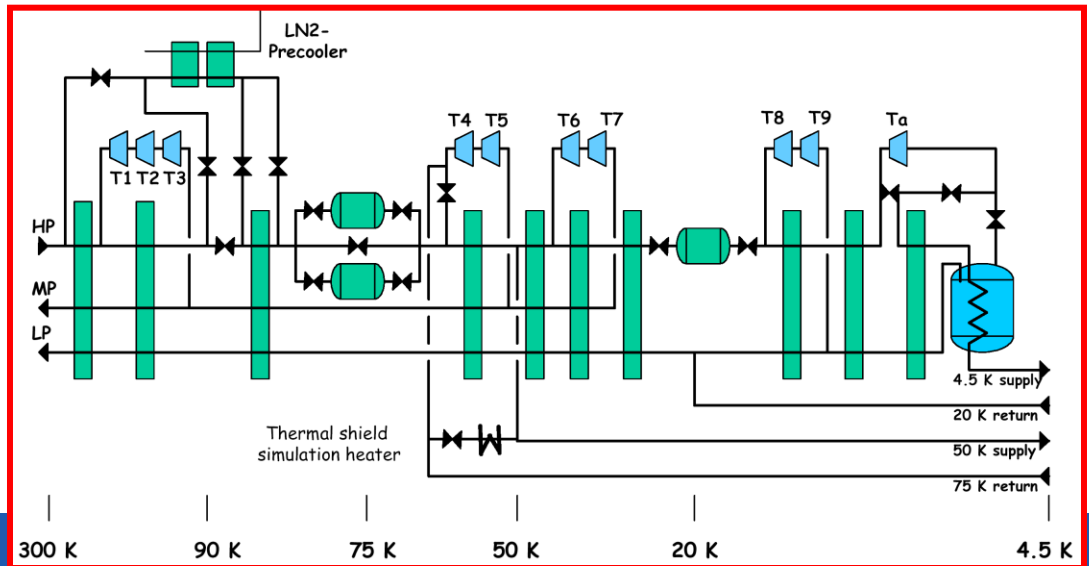
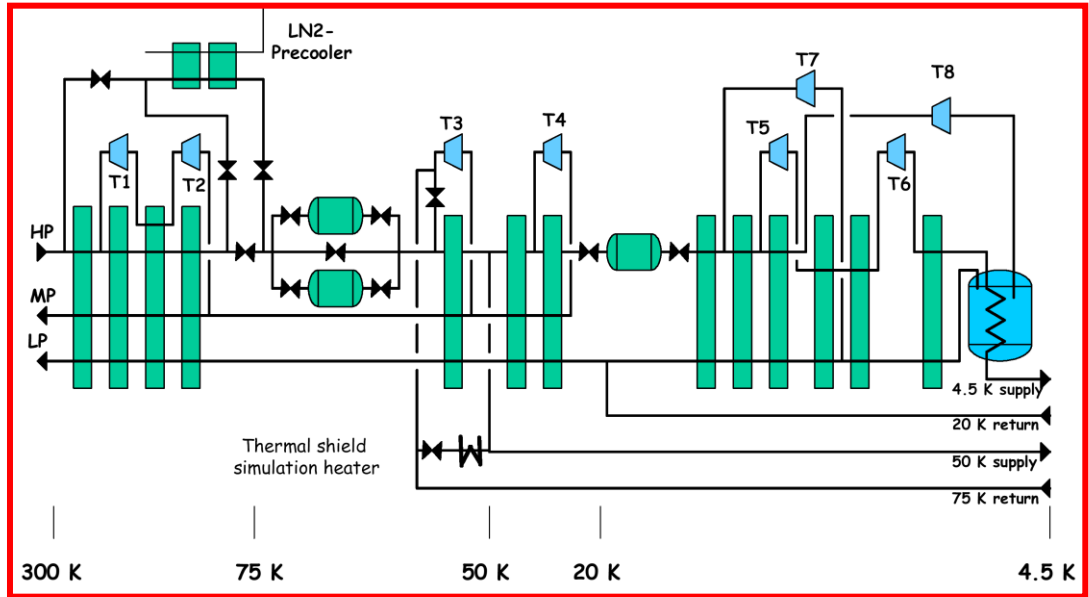
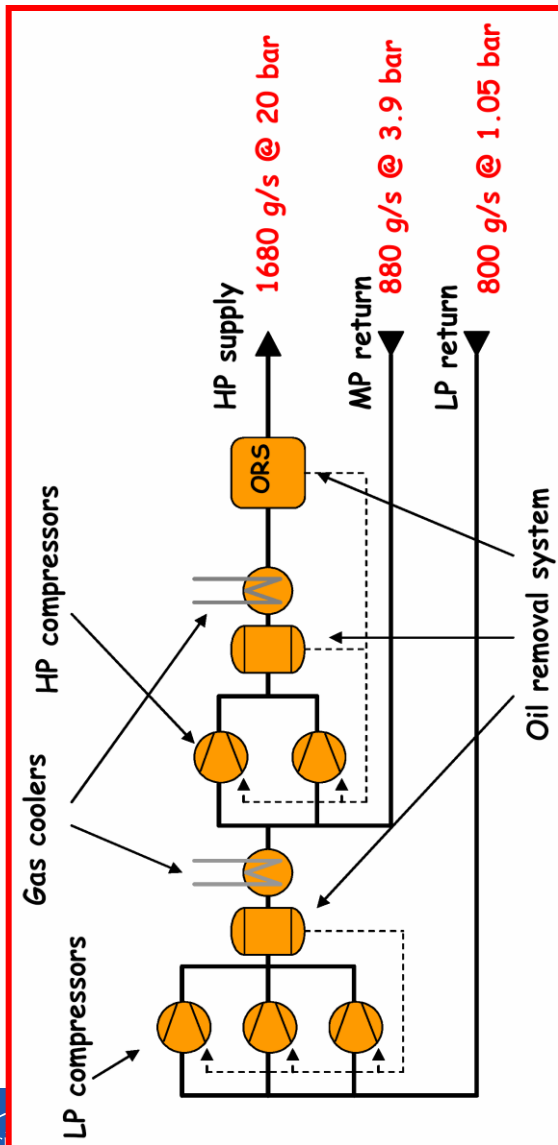


Air Liquide cold box



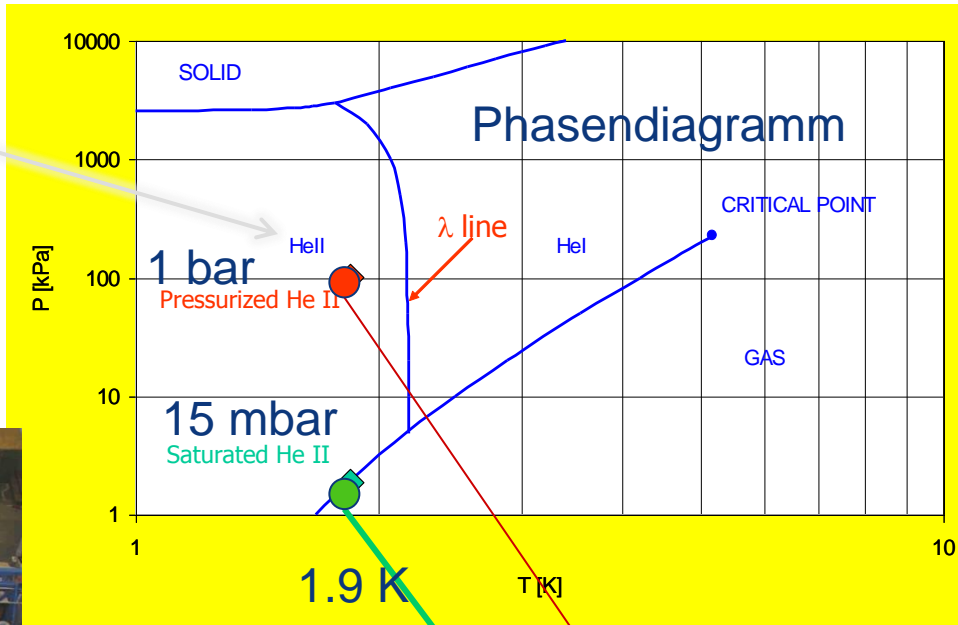
Linde cold box

Process cycle



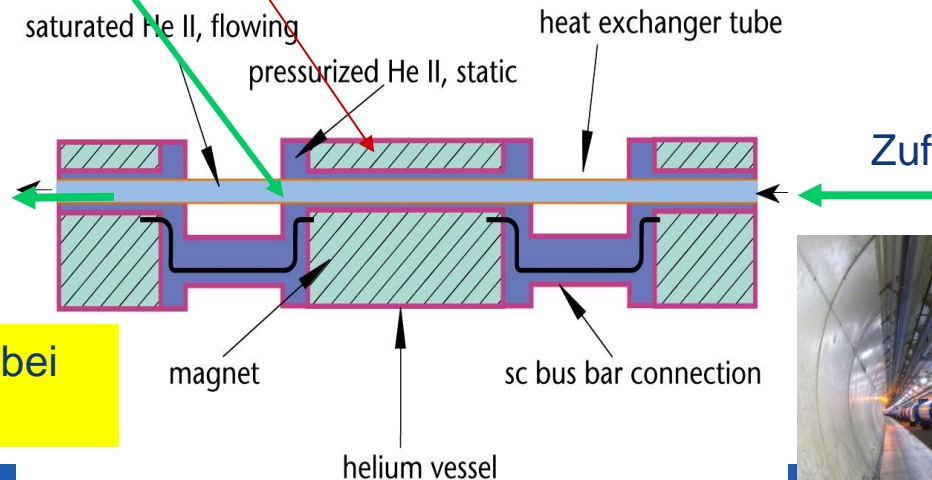
Kühlprinzip

unterkühltes
Superfluides
Helium



Supraleitender Magnet in
statischen Bad mit
superfluidem He bei 1 bar

Kühlung durch
verdampfendes Helium in
Wärmetauscherrohr bei
1.8 K (15 mbar).
Absolutdruck von 15 mbar
wird durch kalte (und warme)
«Vakuumpumpen»
erzeugt

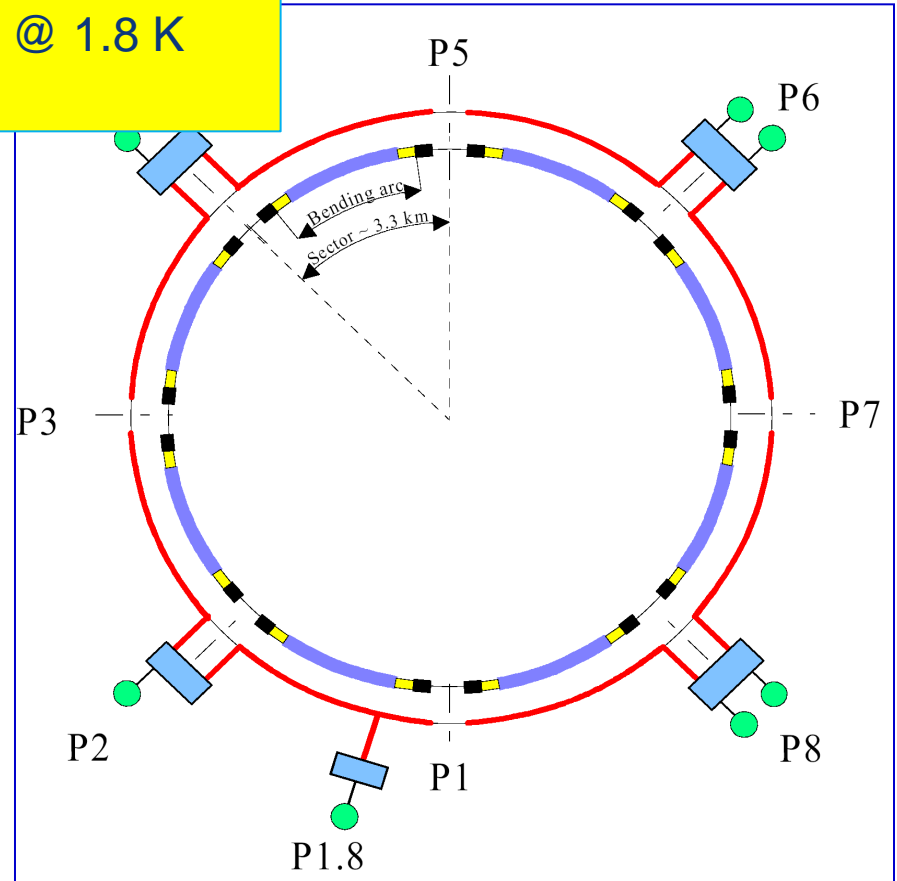
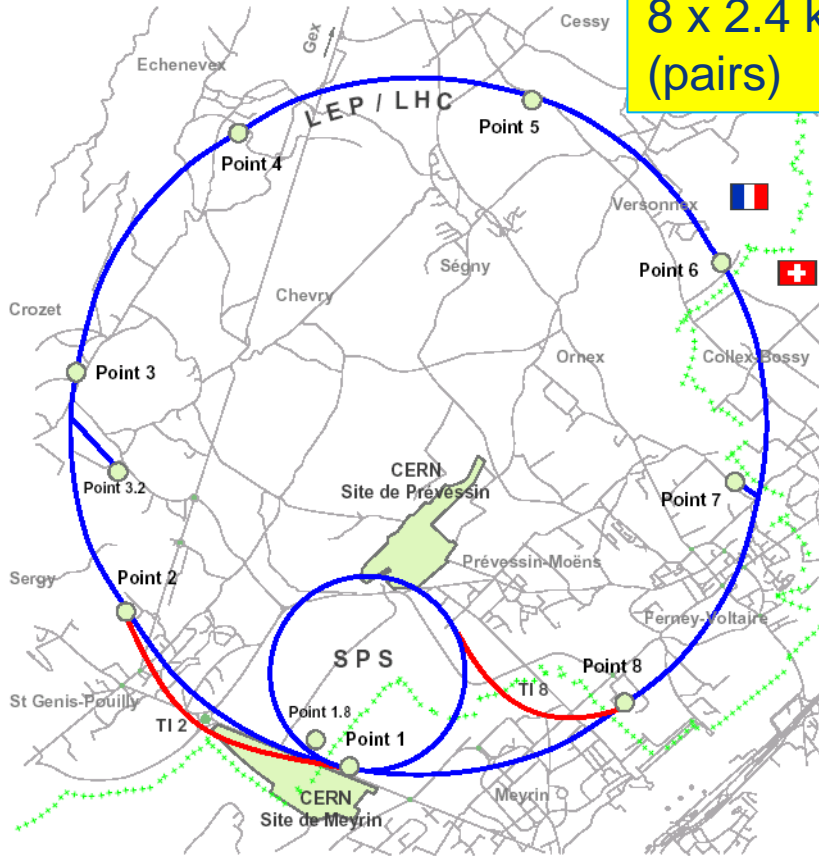


Abpumpen des verdampfenden He II bei
1.8 K mit Kaltkompressoren



Verteilung der Cryoplants

8 x 18 kW @ 4.2 K
8 x 2.4 kW @ 1.8 K
(pairs)



To provide the cooling capacity for the superconducting magnets. One pair of plants or each arc of **3.3 km length**. Electric plug-in power close to 40 MW

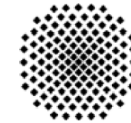
Thermodynamik: Kältemaschine

Technische Thermodynamik - Teil 1



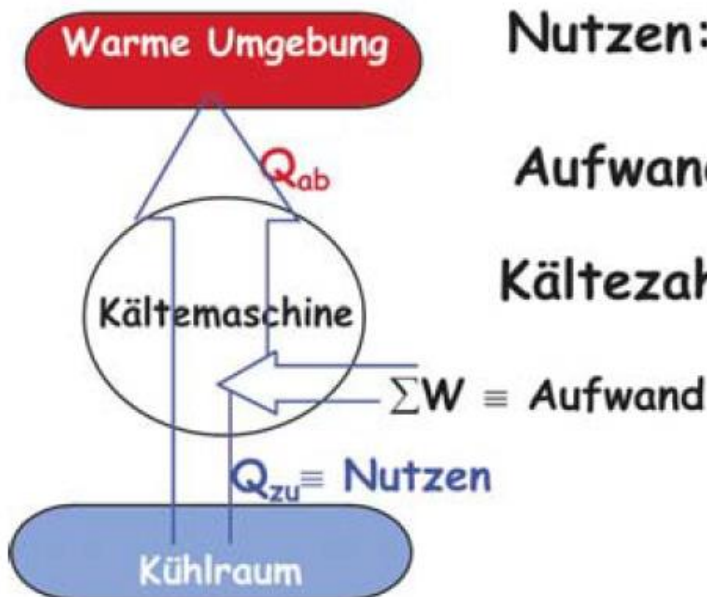
Prof. H. Müller-Steinhagen, Dr. W. Heidemann

Institut für Thermodynamik und Wärmetechnik



Universität Stuttgart

Grundlagen:



Nutzen: zugeführte Wärme
(wird Kühlgut entzogen)

Aufwand: Kreisprozessarbeit

$$\begin{aligned} \text{Kältezahl: } \varepsilon_{\text{KP}} &= \frac{Q_{\text{zu}}}{\sum W} = \frac{q_{\text{zu}}}{\sum w} = \frac{q_{\text{zu}}}{|q_{\text{ab}}| - q_{\text{zu}}} \\ &= \frac{\dot{Q}_{\text{zu}}}{\sum P} = \frac{q_{\text{zu}}}{\sum w_{\text{t}}} = \frac{q_{\text{zu}}}{|q_{\text{ab}}| - q_{\text{zu}}} \end{aligned}$$

Statt Kältezahl COP verwenden wir in der Kryotechnik oft den Kehrwert 1/COP

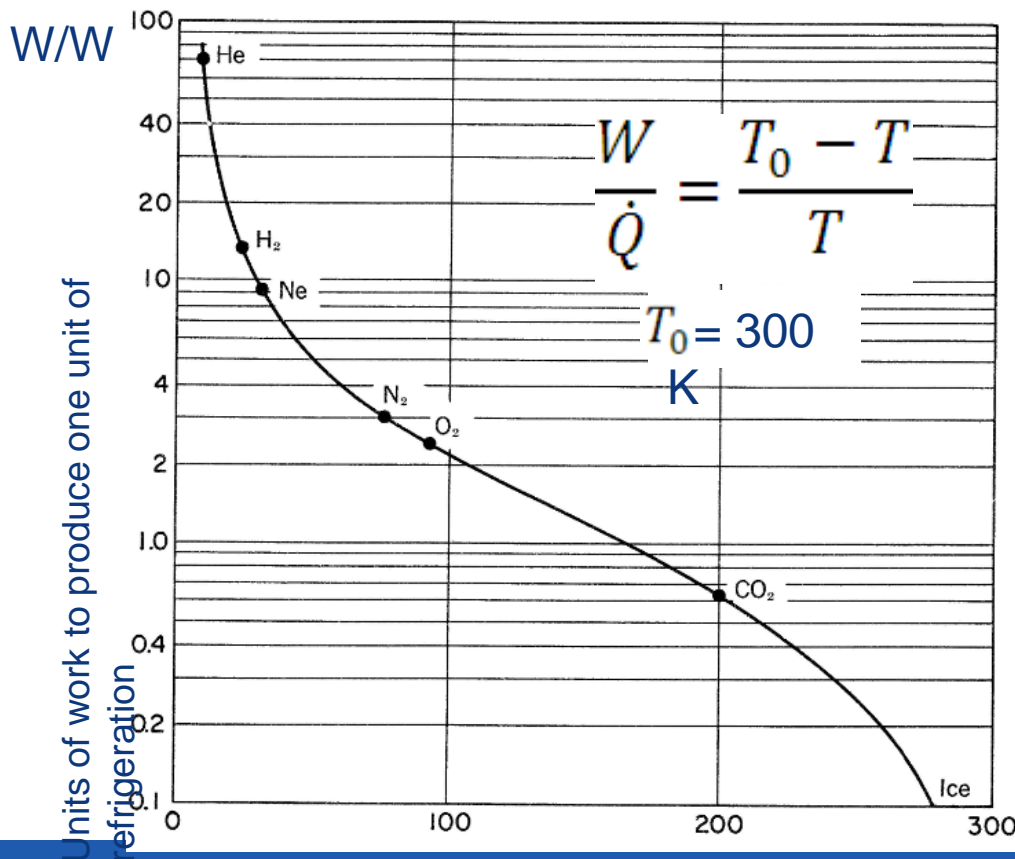
Ideal work for refrigeration

Inverse coefficient of performance

$$COP_{Inv,ideal} = 1/COP_{ideal} = COP_{ideal}^{-1}$$

Units of work required to produce one unit (1 W) of refrigeration of an ideal machine. Equation used

$$\frac{W}{\dot{Q}} = \frac{T_0 - T}{T} \quad \frac{[Watts]}{[Watt]}$$



Gas	Normal boiling point [K]	Ideal Work for refrigeration [W/W]
Oxygen (O ₂)	90.18	2.3
Argon	87.28	2.4
Air	78.80	2.8
Nitrogen (N ₂)	77.36	2.9
Neon	27.09	10.1
Hydrogen (H ₂)	20.27	13.8
Helium-4	4.21	70.3

Cooling Power = f(parameters)

Gas	Normal boiling point [K]	Ideal work for refrigeration [W/W]
Helium-I	4.21	70.3
Helium-II	2.0	150
Helium-II	1.8	167
Helium-II	1.6	187

Carnot efficiency

Real Refrigerators

log

1

Large machines

LHC Refrigeratoren ungefähr 800-900 W/W @ 1.9 K
(rekordverdächtig...)

But in addition

proportionally

$$COP_{real}^{-1} = COP_{ideal}^{-1} / \eta_{Carnot}$$

Size, complexity and cost of refrigerators and systems increase unproportionally with decreasing temperatures

Arbitrary units

Refrigeration system's complexity and costs

COP_{real}^{-1}

Cavity dynamic load

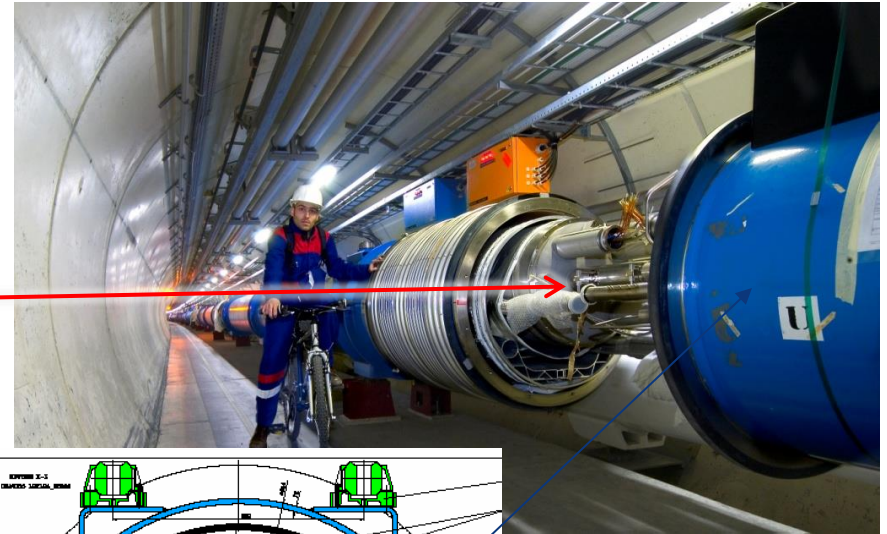
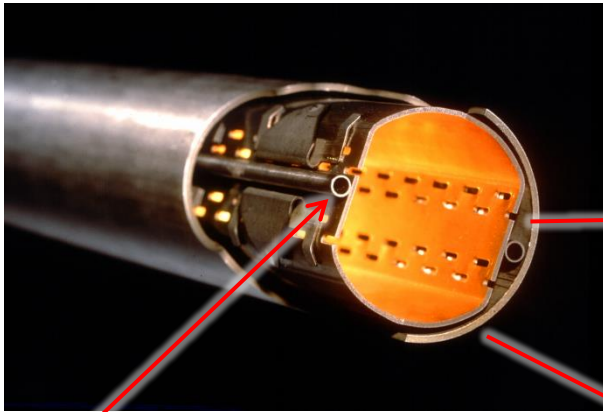
T

T

Vakuum am LHC

Um Kollisionen mit residuellen Gasen auf ein Minimum zu reduzieren: Hochvakuum

Vakuumröhren für den Teilchenstrahl

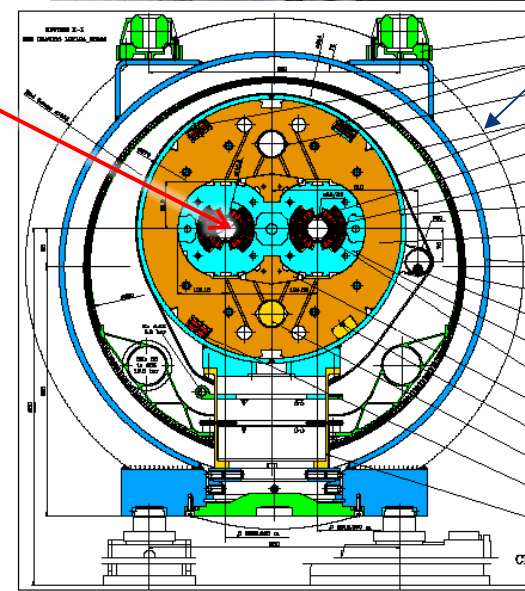


- +Cryopumping von residuellen Gasen (Absorber auf 5-20 K gekühlt:)
- + NEG (Getter-Pumping ausserhalb der sc Magnete)

Vakuum:

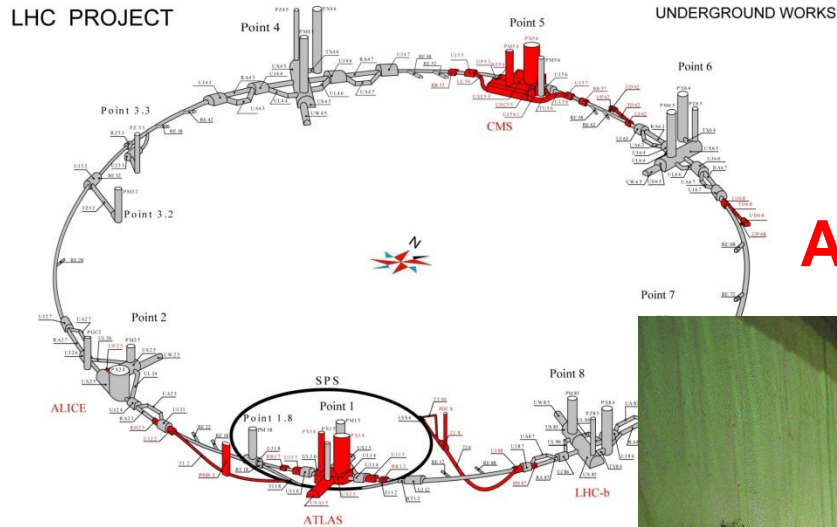
1E-12 mbar

1E-10 mbar (mit Teilchenstrahl)



Querschnitt eines supraleitenden Magneten

Bauingenieurwesen



- Tunnelbau
- Detektorkavernenbau

ATLAS Kaverne in der Bauphase



TS-CE
2005

Beschleunigertunnel

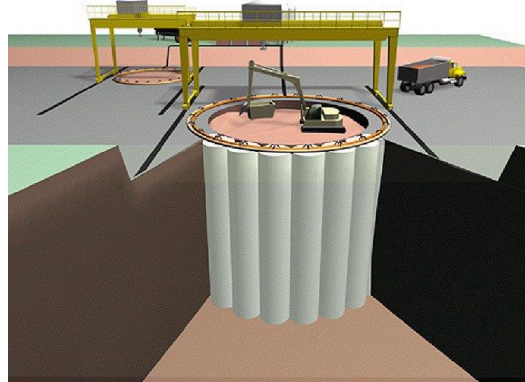
Lastwagelchen

Boden mit Eisenarmierung
fur ATLAS Detektor
Fundament

Bauingenieurwesen: CMS



Grundwasser: Unterirdischer Wasser-
Abfluss vom Jura zum Genfer See



Lösung: Einfrieren des Erdreichs (Molasse) vor
Abbau mit Baumaschinen



Calcium-chloride, brine solution was circulated through a closed pipework system before returning to the refrigeration plant on the surface for re-chilling. The brine was circulated at a temperature of around -25°C in order to achieve an average frozen ground temperature of -10°C . The refrigeration plant used an ammonia-charged compressor system. (I cite John Osborne, civil engineering)



100 m tiefe vertikale
Zugangsschächte 12.1m
und 20.5m Durchmesser



Visit of the rector of the technical university Dresden at CERN, 6 Feb. 2014

Selected slides by SSg for the presentation of F. Haug

- Mechanical testing at cryogenic temperatures
- X-Ray microtomography

Materialkunde hat grösste Bedeutung für:

Geeignete Auswahl an Materialien (z.B. Strukturmaterial)

Entwicklung und Qualifizierung von neuen Materialien

Qualitätskontrolle

Zuverlässigkeit

Sicherheit

am CERN teilweise ungewöhnliche Randbedingungen:

z.B. extreme Temperaturen, ionisierende Strahlung....

Stefano Sgobba
EN-MME-MM



Mechanical testing

100 kN cryostat for tensile testing and eventually fracture mechanics at 4.2 K in testing and calibration phase

Tensile testing machines

Two column electromechanical universal testing machine *UTS 200*

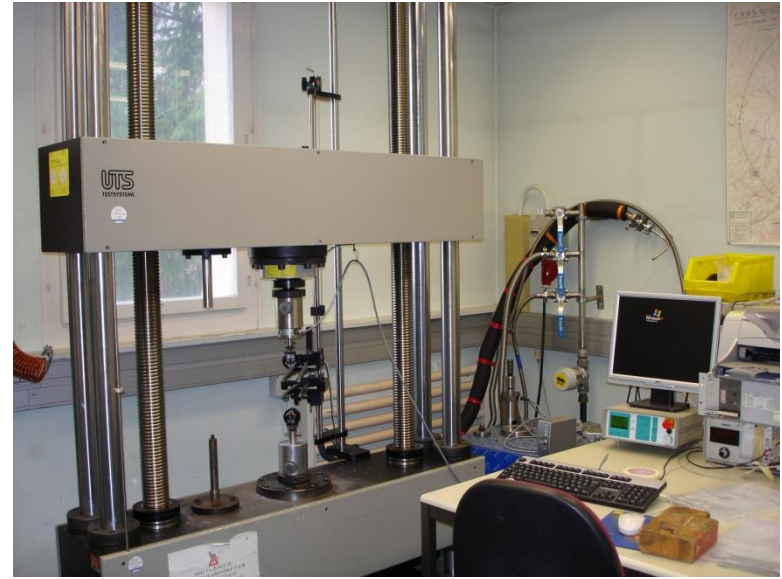
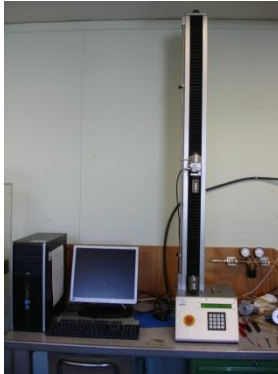
Load cells 1 kN, 20 kN and 200 kN, stroke 800 mm

Knives and clip-on extensometers

Tensile grips, compression plates, bending tools

System for tests at 77 K and 4.2 K, 25 kN load cell

Single column press *ZPM 1000-500*. Load cell 1 kN, stroke 500 mm



Hardness

Hardness. *Wolfert 2R*

Load 1

Brinell,

Micro hardness autor

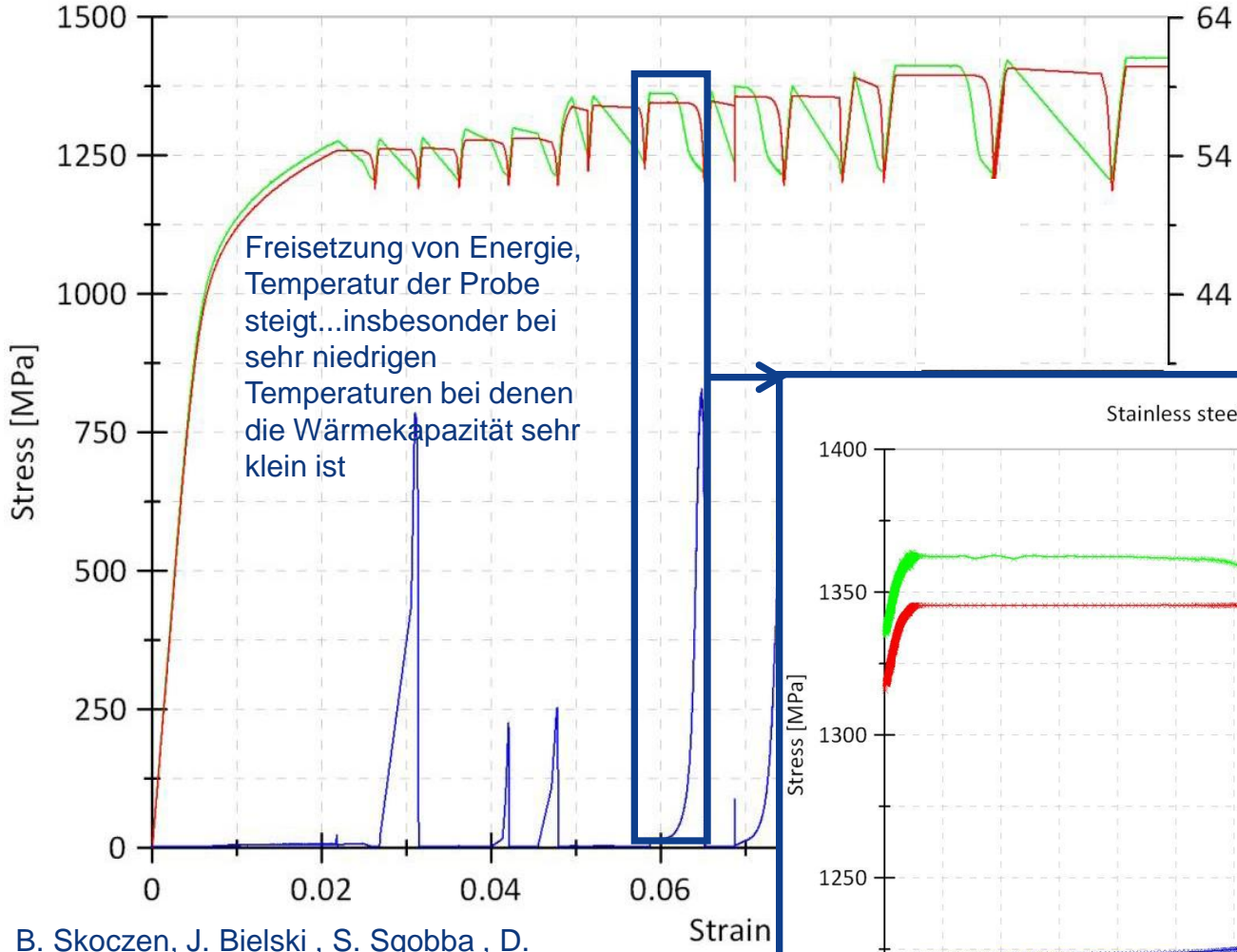
Load 10



Capabilities of the equipment

Serrated yielding at low temp.
(particularity at 4 K)...Sägeartiges Fließen

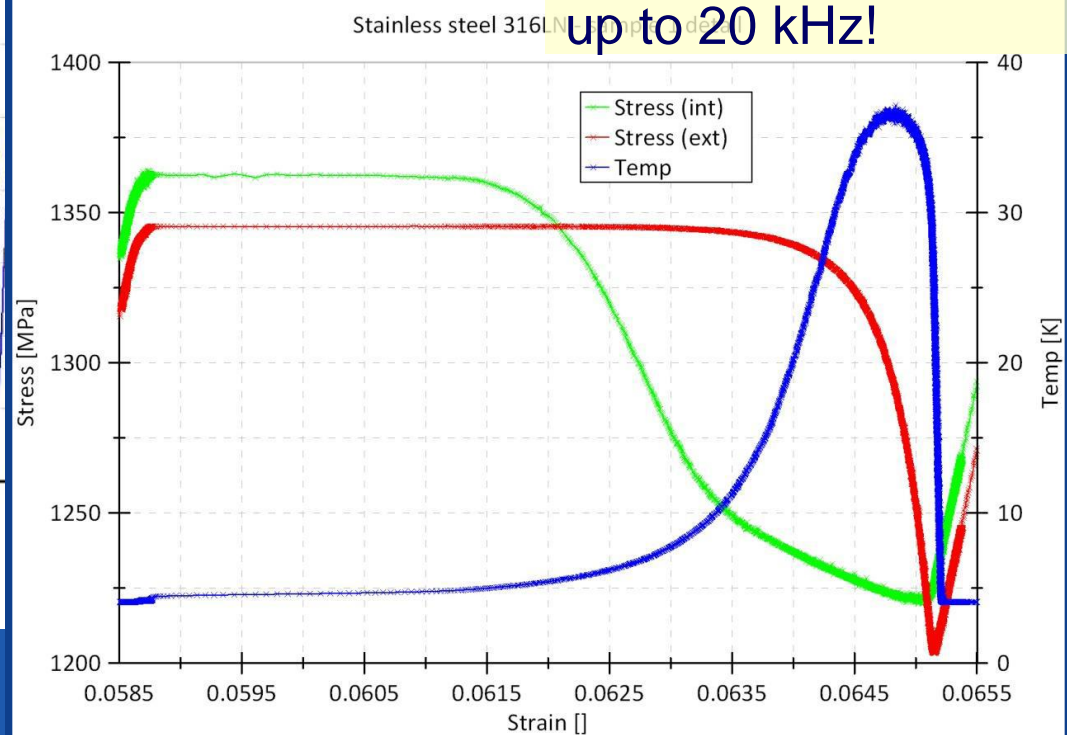
Stainless Steel 316LN - sample 1



Freisetzung von Energie, Temperatur der Probe steigt...insbesonder bei sehr niedrigen Temperaturen bei denen die Wärmekapazität sehr klein ist

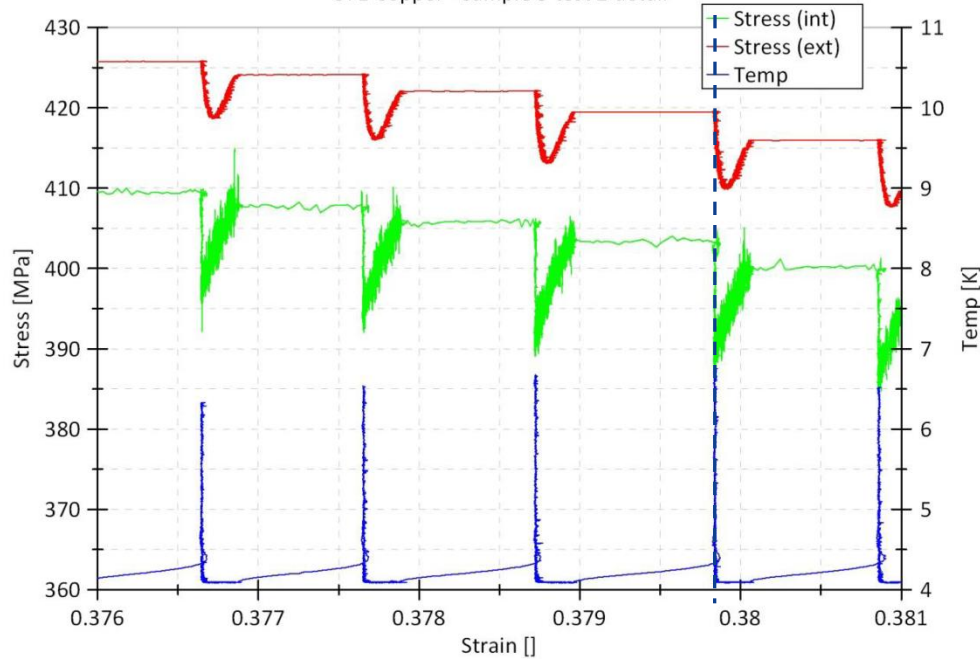
D. J. Marcinek, *Experimental Study of Discontinuous Plastic Flow, Phase Transformation and Micro-damage Evolution in Ductile Materials at Cryogenic Temperatures*, Master of Science Thesis, CERN and CUT, 2009

Sampling frequency up to 20 kHz!



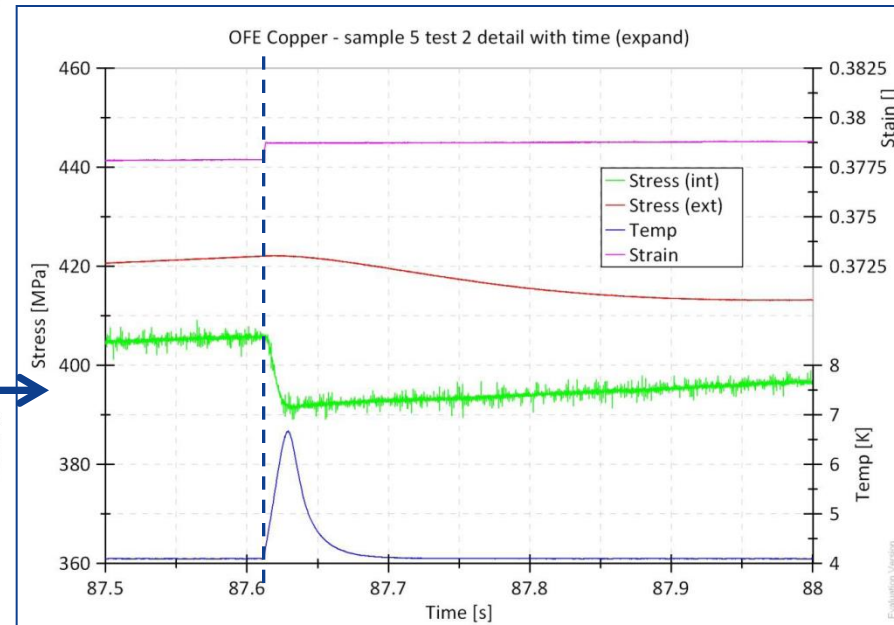
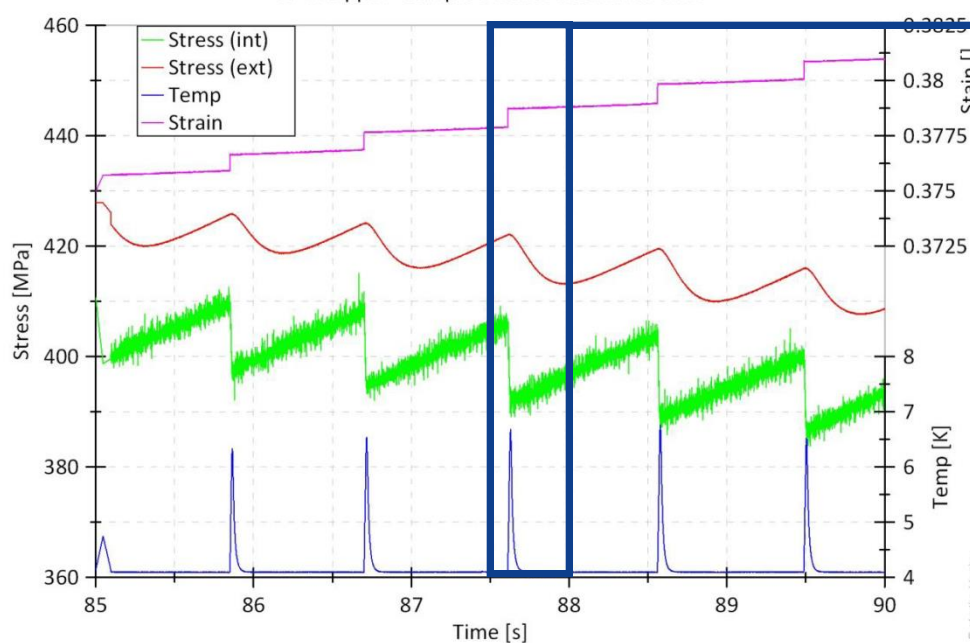
B. Skoczen, J. Bielski, S. Sgobba, D. Marcinek, *Constitutive model of discontinuous plastic flow at cryogenic temperatures*, International journal of plasticity, 26 (2010)

OFE Copper - sample 5 test 2 detail



OFE Cu, serrated yielding recorded during necking (engineering stress-engineering strain plot)

OFE Copper - sample 5 test 2 detail with time



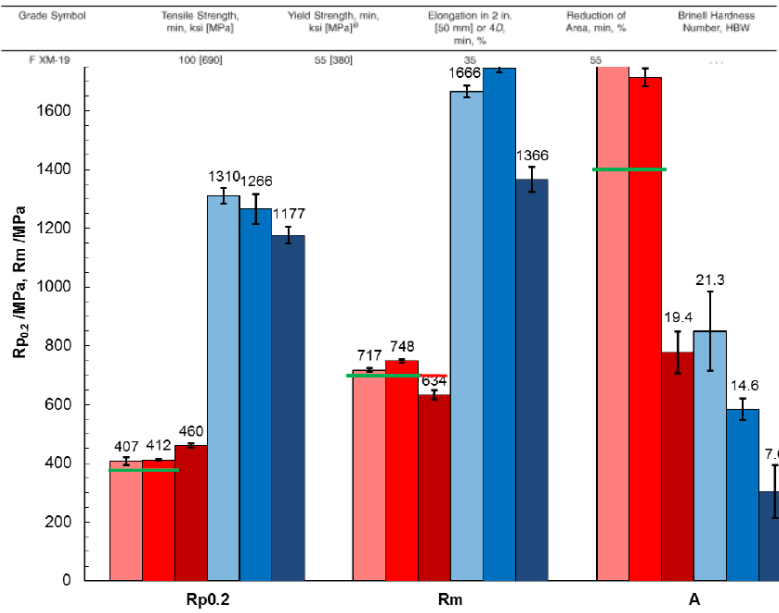
D. J. Marcinek, *Experimental Study of Discontinuous Plastic Flow, Phase Transformation and Micro-damage Evolution in Ductile Materials at Cryogenic Temperatures*, Master of Science Thesis, CERN and CUT, 2009

5.2 Mechanical Testing

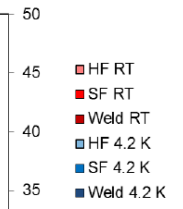
The mechanical properties of forgings supplied under this specification shall meet the properties required by ASTM A182, Grade FXM-19.

ASTM A182/A182M - 10a

TABLE 3 Continued

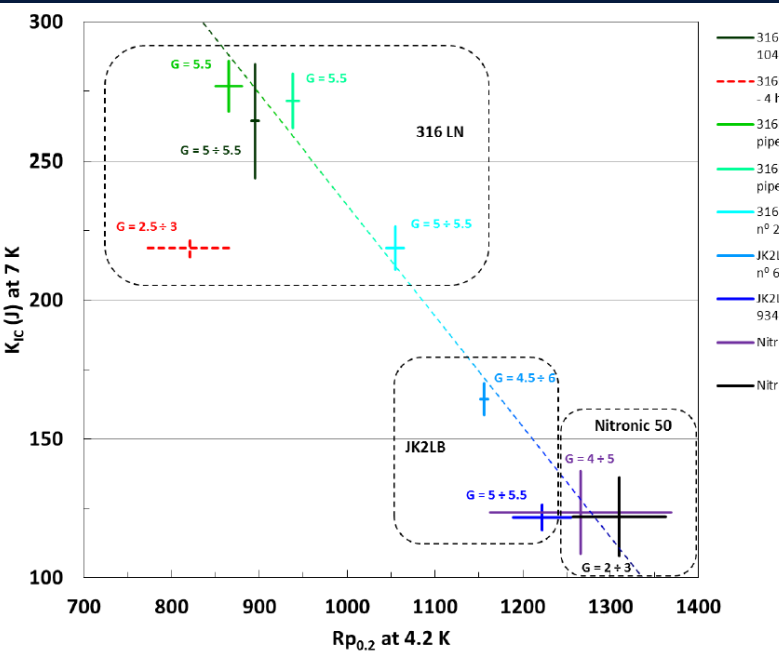
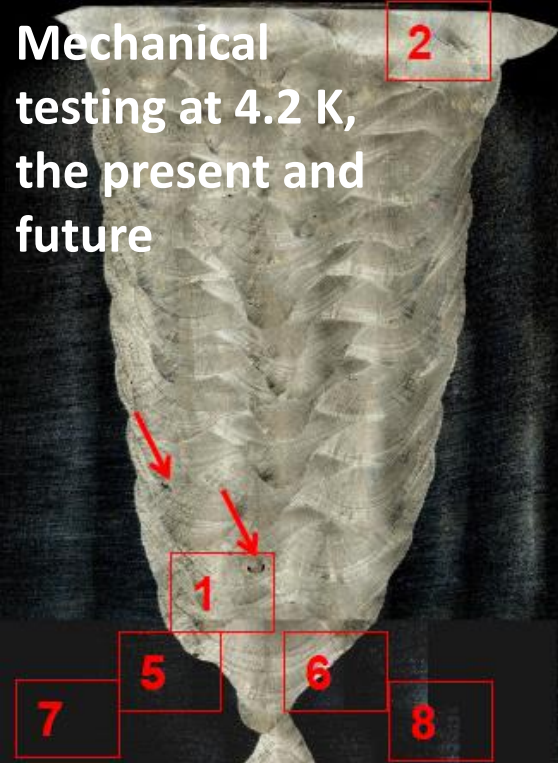


china eu india japan korea russia us



CERN + CEME

Mechanical testing at 4.2 K, the present and future

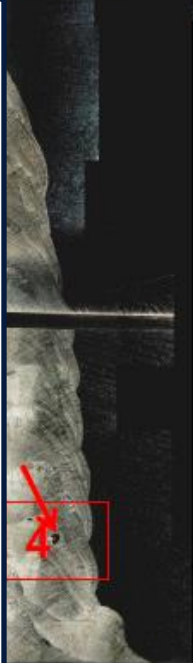
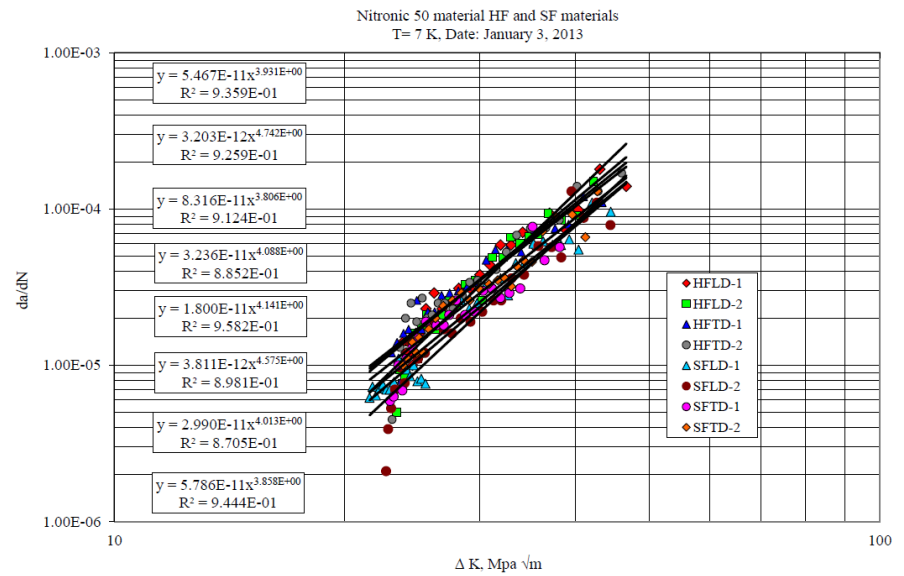


EN Engineering Department

FCGR results Base metal

Document: 060741-14 © CEME: 2013

Fatigue crack growth rate and fracture toughness properties at 7 K of forged Nitronic 50 material and its welding

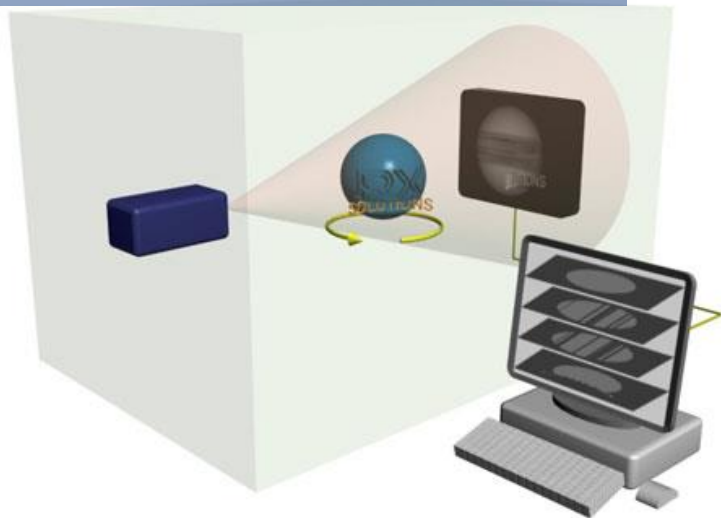


3D microtomography, description of the technique



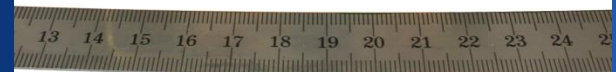
Courtesy of RX Solutions

Zerstörungsfreie
Prüfung mit enormer
Präzision

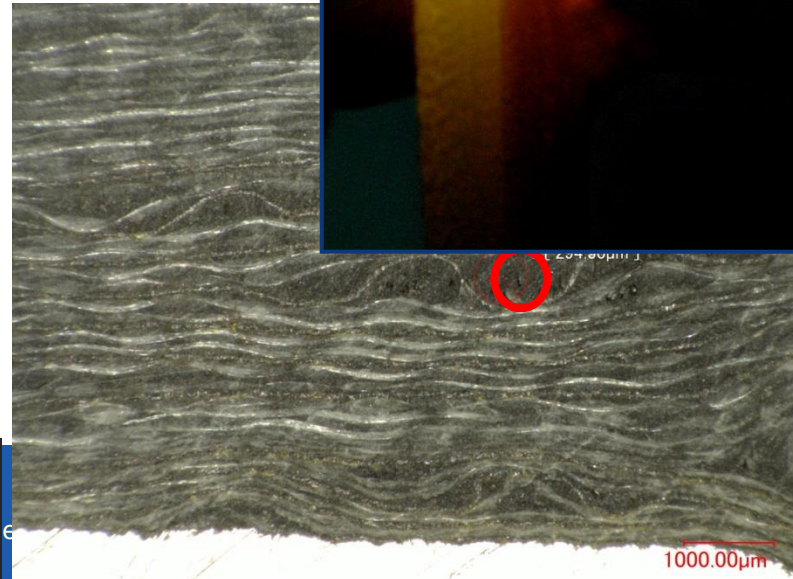
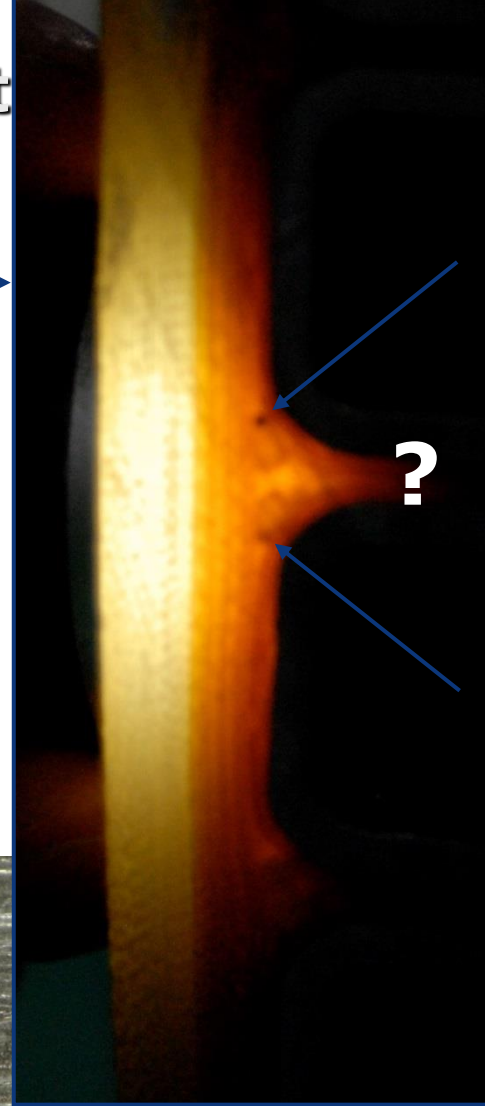
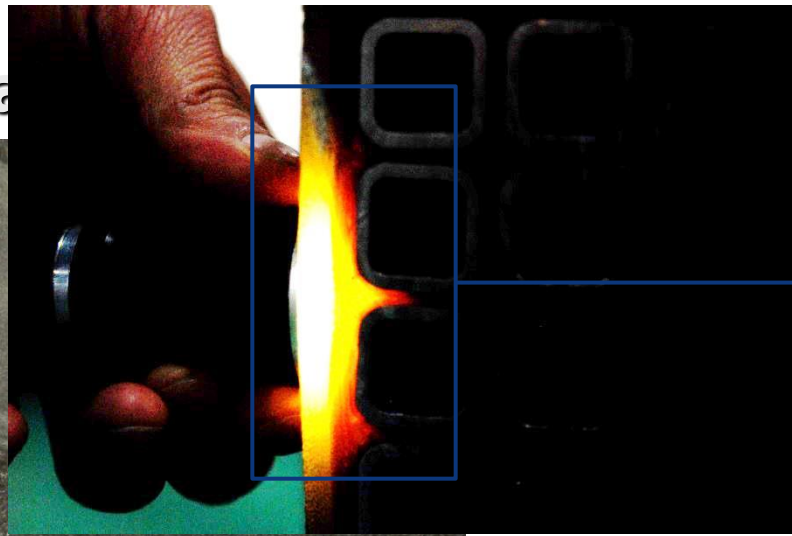
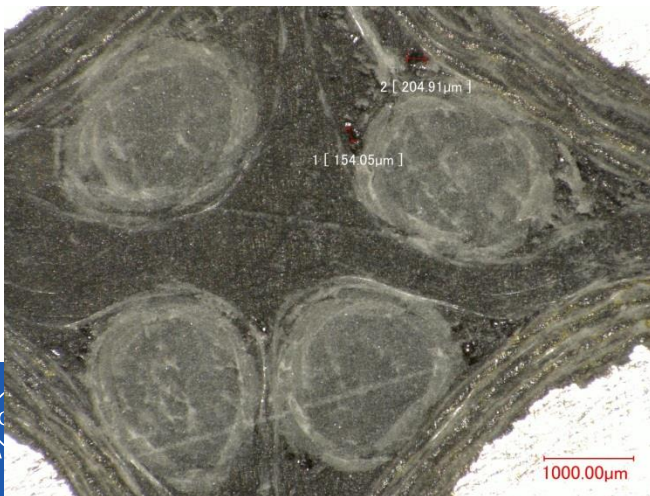
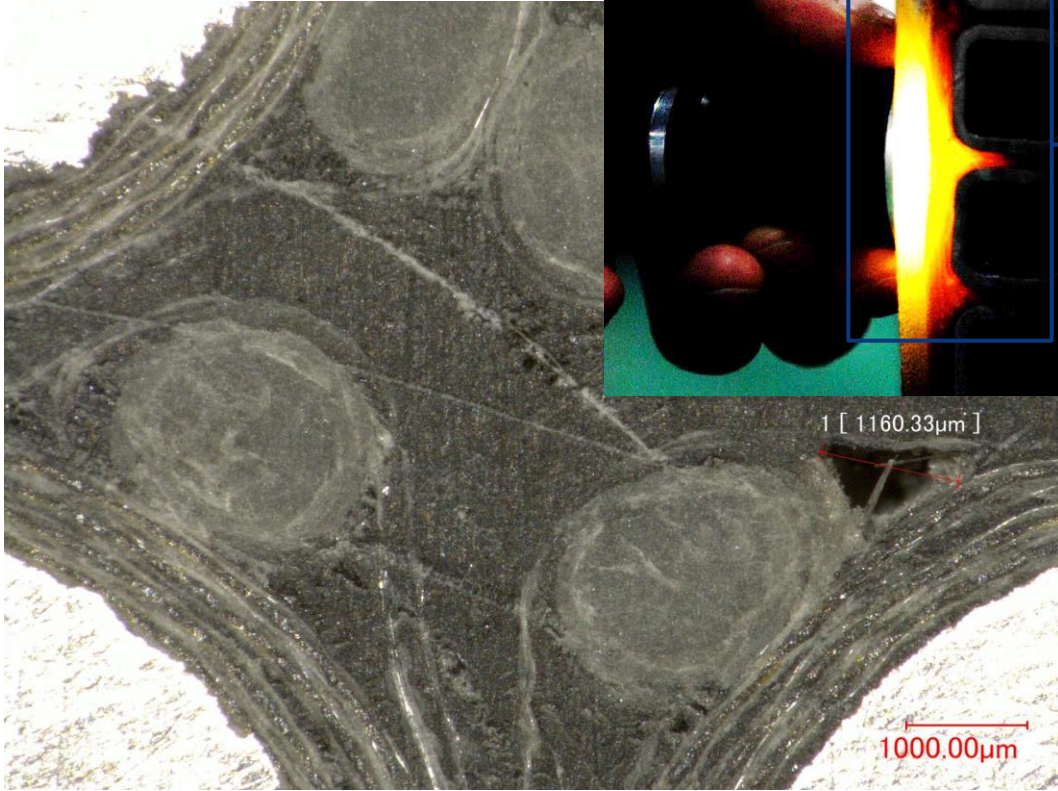


**Sample of the Vacuum
Pressure Impregnation
(VPI) of ITER correction
coils (CCs)**

11 separate 360° scans
were combined to compile a
final single 3D object
reconstruction while
avoiding shadows due to
steel conduits

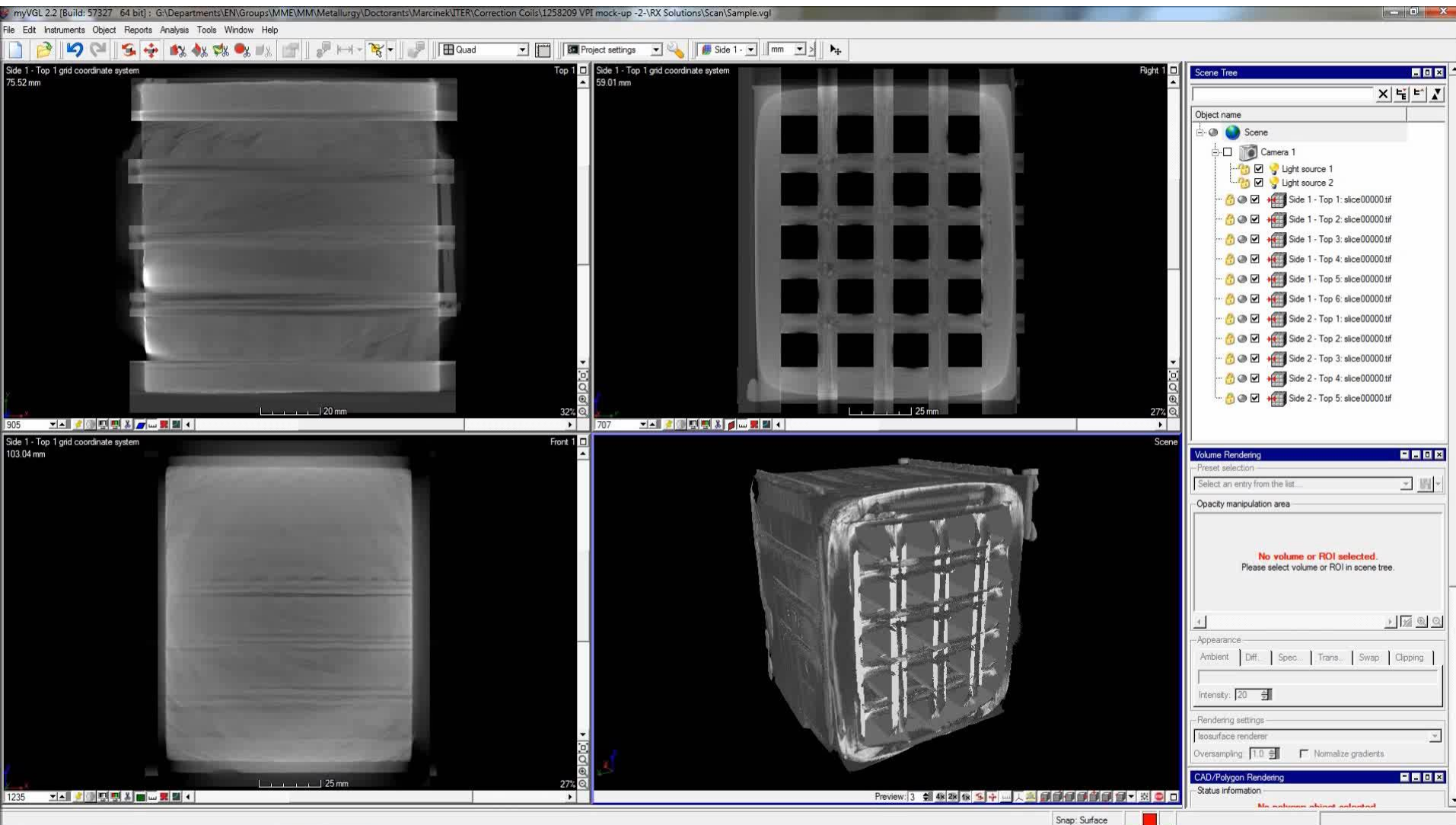


Microstructure

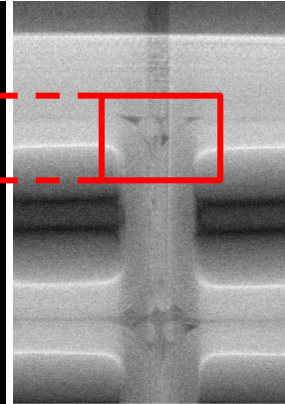
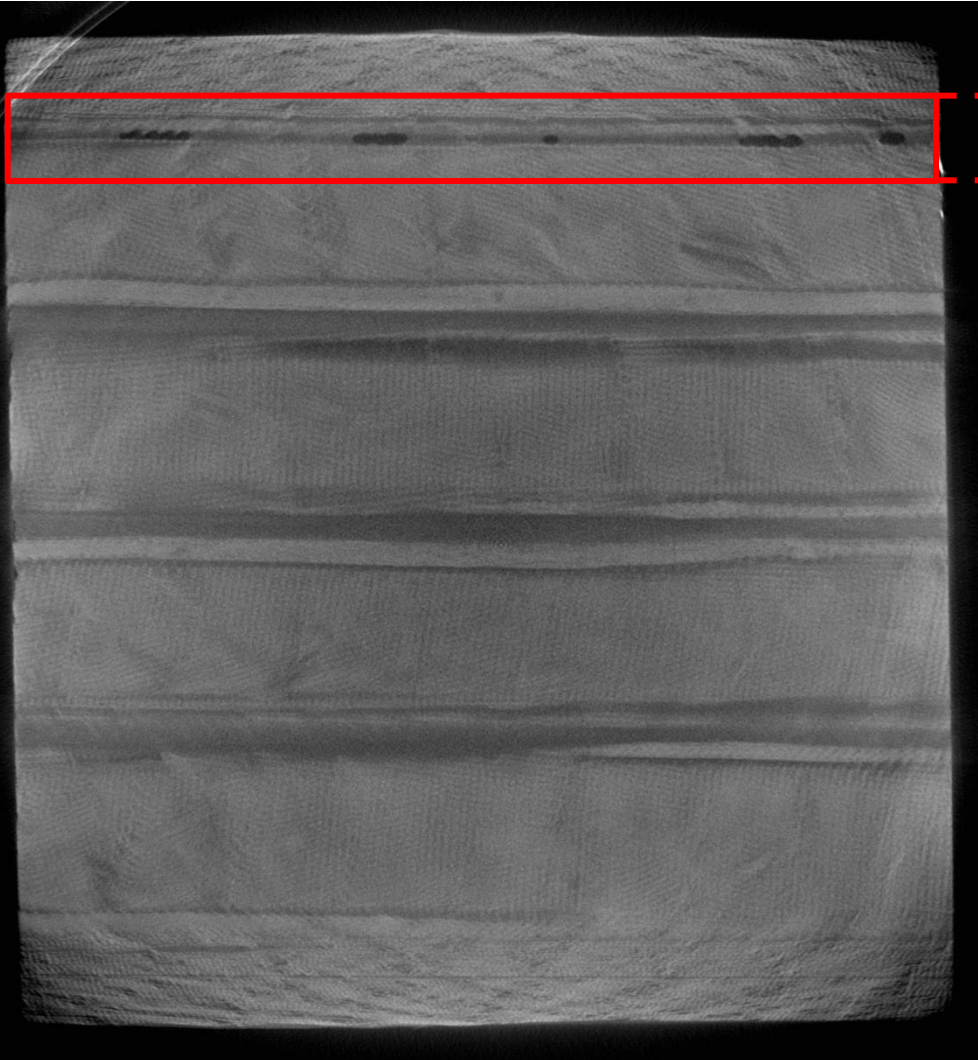


areas of pure resin ⇒

X-Ray Computed Tomography (CT)



X-Ray Computed Tomography (CT)



Elongated voids in resin
along glass ropes
between the steel
conduits



Superconducting radiofrequency (SRF) cavities

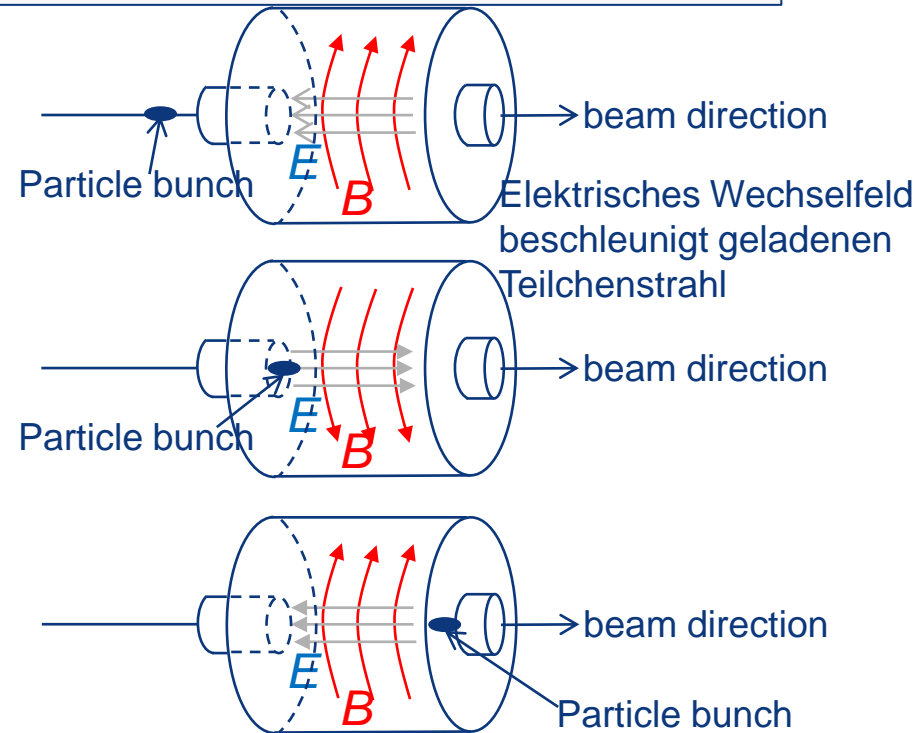
Resonator wird zu elektromagnetischen Eigenschwingungen angeregt

1. Before the particle bunch enters the cavity the electric field is pointing in opposite direction of the beam axis

2. The particle bunch enters the cavity. The electric field is pointing in the direction of the beam axis → The particle is accelerated

3. The particle bunch leaves the cavity. The field direction has changed again

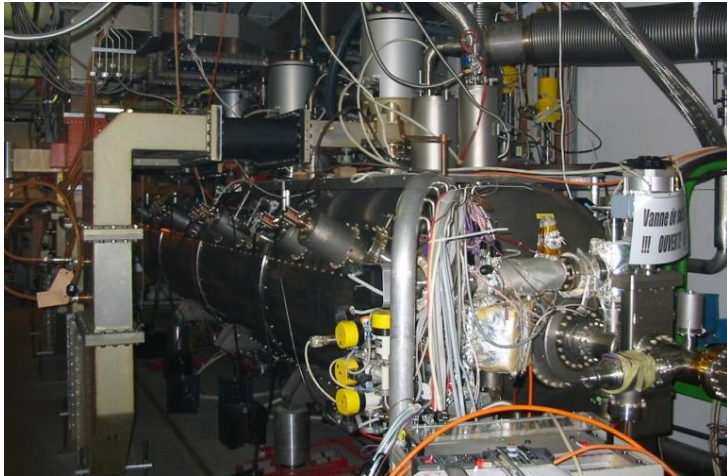
Zusammenstellung T. Junginger



- Cavities are used to accelerate particles by an alternating electric field
- An alternating electric field causes an alternating magnetic field
- The cavity confines the electromagnetic fields by surface shielding currents
- These currents create losses (heating), which can be reduced by using superconducting materials

SRF activities at CERN

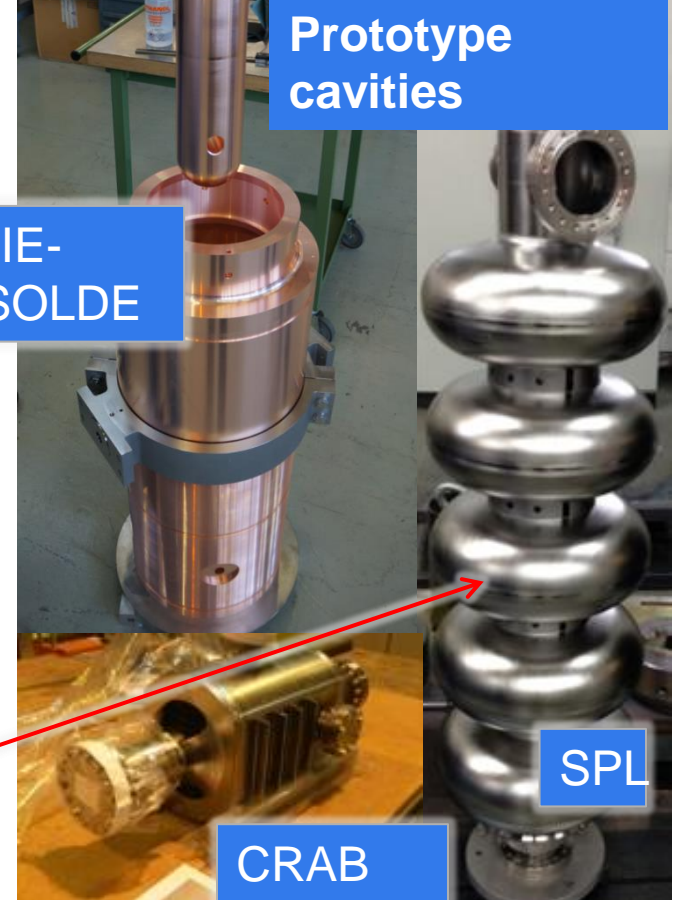
- LHC – SRF (Machine + Spares)
- Post accelerator for nuclear research: HIE-ISOLDE
- Deflecting (CRAB) cavities for LHC upgrade
- High Gradient Research (SPL)
- Future projects, e.g. Energy Recovery Linac
- SRF infrastructure upgrade
- R&D – Cryolab



Niob
Vollmaterial

HIE-
ISOLDE

Prototype
cavities



SPL

CRAB

LHC: Spare module ready for high power test

S. Aull.
B. Peters
T. Junginger

R&D – Cavities/Cryo

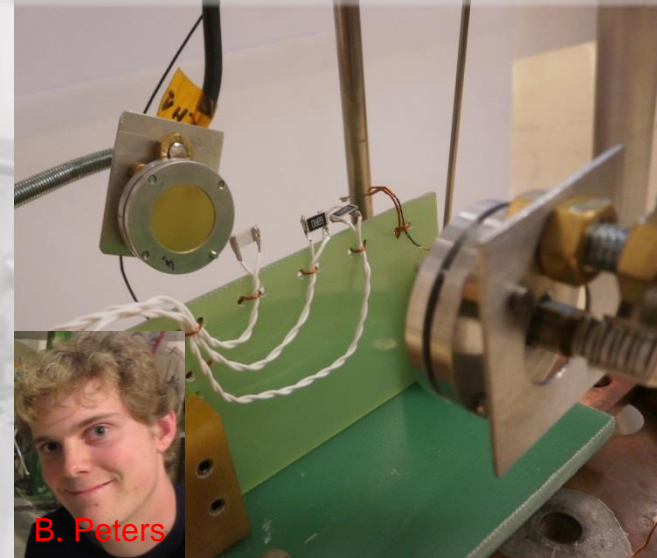
Fundamental SRF studies using
the Quadrupole Resonator



S. Aull

PhD Thesis S. Aull (Univ. Siegen)
Supervisor: S. Doebert

Cavity Diagnostic
Developments with OSTs



B. Peters

Master Thesis B. Peters (Univ.
Karlsruhe) with Co-Supervisor T.
Koettig (TE-CRG)

Thanks to the cryolab team
for their support in more than
20 cold tests in 2013!

New Coating
Technologies:
HIPIMS on 1.3
GHz cavities

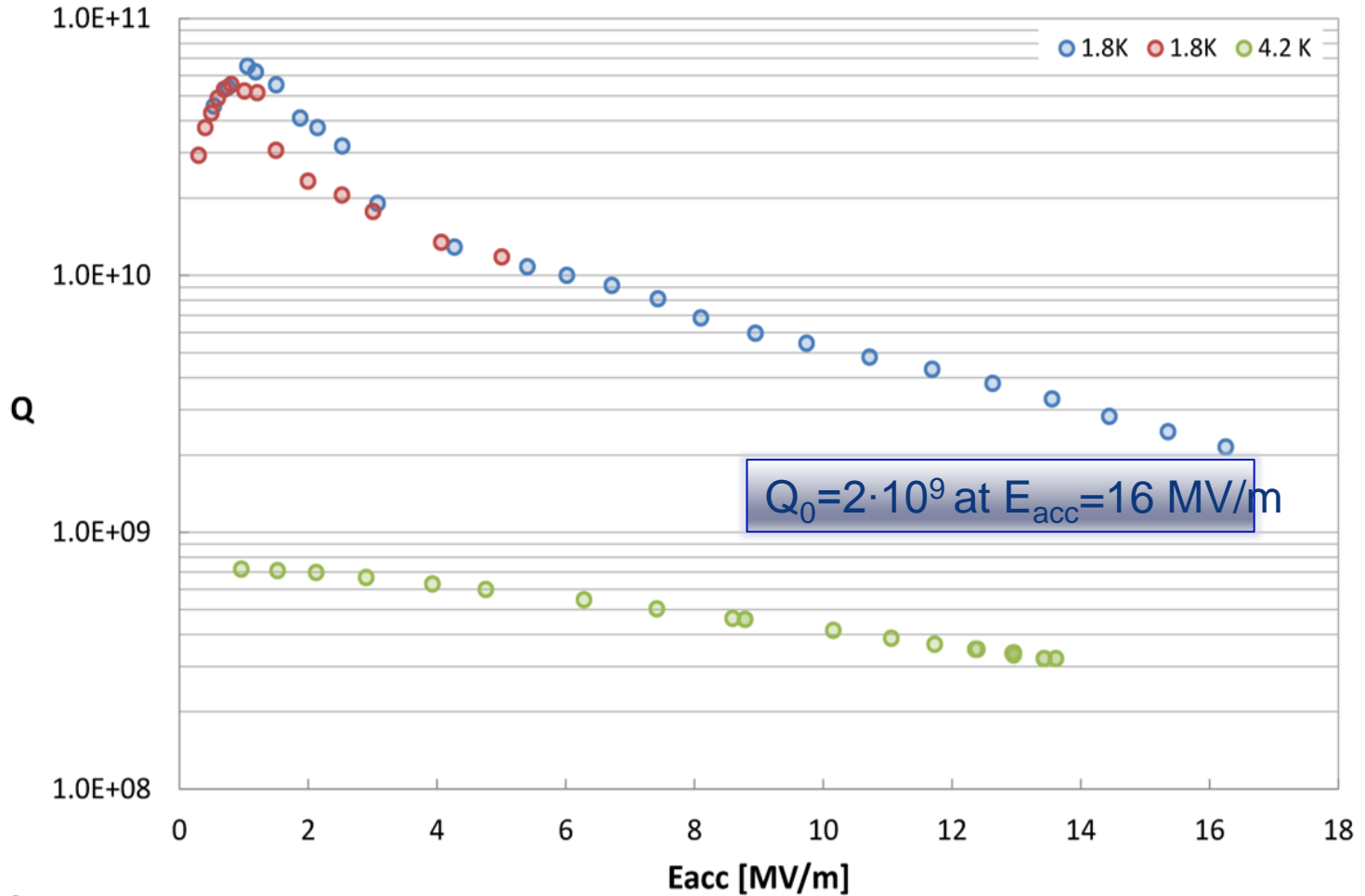


T. Junginger

Collaboration with TE-VSC
S. Calatroni and G. Terenziani

R&D – Cavities/Cryo

New Coating
Technologies:
HIPIMS on 1.3
GHz cavities



Qualität Q_0 hat direkten Einfluss auf die Höhe der notwendigen Kühlleistung, die so klein wie möglich sein soll

Magnetic Measurement Laboratory

Kollege Russenschuck



Supra-, Kryotechnik-, Messtechnik Labors

Wer	Anstellung	Was
<ul style="list-style-type: none">• Daniel Berkowitz• Dr. Tobias Junginger• Joanna Liberadzka	Gentner Doktorand (KIT) Fellow, Ex-Gentner (Heidelberg) Tech. Studentin aus Warschau	Technology Transfer Supraleitende Kavitäten He3/He4 Mischkühler
<ul style="list-style-type: none">• Dr. A. Ballarino• Chr. Scheuerlein	CERN Staff, Sektionschefin CERN Staff, Materialwissenschaftler	SC Cable test facility
<ul style="list-style-type: none">• Dr. S. Russenschuck• Oliver Köster	CERN Staff, Sektionschef Gentner Doktorand (TU Darmstadt)	Magnet-Messtechnik

